

**ТЕХНИЧЕСКИЕ НАУКИ**  
**TECHNICAL SCIENCES**УДК 536.2.001  
<https://doi.org/10.29235/1561-8323-2023-67-2-144-155>Поступило в редакцию 04.04.2022  
Received 04.04.2022**В. А. Кот***Институт тепло- и массообмена имени А. В. Лыкова Национальной академии наук Беларуси,  
Минск, Республика Беларусь***НОВЫЕ ПОДХОДЫ К РАСЧЕТУ ПОГРАНИЧНОГО СЛОЯ МЕТОДОМ КАРМАНА–  
ПОЛЬГАУЗЕНА***(Представлено членом-корреспондентом Н. В. Павлюкевичем)*

**Аннотация.** Представлено несколько эффективных вычислительных схем для расчета задач гидродинамики, обеспечивающих достижение минимальных ошибок определения основных параметров пограничного слоя. Полученный в работе новый трехчленный полином, описывающий профиль скорости в пограничном слое, существенно превосходит по точности все известные, аналогичные по форме, решения. Также предложена схема нахождения достаточно точного решения на основе двух классических полиномов Польгаузена третьей и четвертой степени в виде их полусуммы. Данное решение обладает лучшими аппроксимационными свойствами по сравнению с исходными профилями. Получено высокоточное решение для профиля скорости в виде  $F(\zeta) = (1 + 1,135\zeta)(1 - \zeta)^3$ , причем кривая профиля скорости практически совпадает с точным решением. Ошибка определения напряжения трения составляет  $\varepsilon_{\tau_w} = 0,0008\%$ . Данное решение дает практически точное значение напряжения трения с очень малыми ошибками расчета толщины вытеснения (0,12 %) и формпараметра (0,12 %).

**Ключевые слова:** метод Кармана–Польгаузена, пограничный слой, уравнение Блазиуса, полиномиальные решения, интегральные методы

**Для цитирования.** Кот, В. А. Новые подходы к расчету пограничного слоя методом Кармана–Польгаузена / В. А. Кот // Докл. Нац. акад. наук Беларуси. – 2023. – Т. 67, № 2. – С. 144–155. <https://doi.org/10.29235/1561-8323-2023-67-2-144-155>

**Valery A. Kot***A. V. Luikov Heat and Mass Transfer Institute of the National Academy of Sciences of Belarus,  
Minsk, Republic of Belarus***NEW APPROACHES TO CALCULATION OF THE BOUNDARY LAYER  
BY THE KARMAN–POHLHAUSEN METHOD***(Communicated by Corresponding Member Nikolai V. Pavlyukevich)*

**Abstract.** Several efficient computational schemes, providing the attainment of minimum errors in determining the main parameters of a boundary layer, are presented. The new trinomial polynomial obtained for definition of the velocity profile in the boundary layer much exceeds in accuracy all the known analogous solutions. A scheme of finding a fairly exact solution in the form of the half-sum of the classical Pohlhausen polynomials of the third and fourth degrees is proposed. This solution possesses better approximation properties compared to those of the initial profiles. A high-accuracy solution has been obtained for the velocity profile in the form  $F(\zeta) = (1 + 1.135\zeta)(1 - \zeta)^3$ , the velocity profile curve being almost coincident with the exact solution. The friction stress error is  $\varepsilon_{\tau_w} = 0.0008\%$ . This solution yields an almost exact value of friction stress with very small calculation errors of the displacement thickness (0.12 %) and the form parameter (0.12 %).

**Keywords:** Karman–Pohlhausen method, boundary layer, Blasius equation, polynomial solutions, integral methods

**For citation.** Kot V. A. New approaches to calculation of the boundary layer by the Karman–Pohlhausen method. *Doklady Natsional'noi akademii nauk Belarusi = Doklady of the National Academy of Sciences of Belarus*, 2023, vol. 67, no. 2, pp. 144–155 (in Russian). <https://doi.org/10.29235/1561-8323-2023-67-2-144-155>

**Введение.** В начале прошлого века Л. Прандтль [1] заложил основы теории пограничного слоя (ПС), объединив, казалось бы, несовместимые в то время науки: теоретическую гидродинамику и гидравлику. Теория пограничного слоя нашла применение при расчете сопротивления поверхностного трения, которое действует на тело при его движении в жидкости и газе [2]. В настоящую эпоху микроэлектроники теория пограничного слоя вновь приобретает большой научный интерес в связи с изучением течений газа и жидкости в микромасштабном режиме. Сохранив подход Прандтля к пограничным слоям [1] и одновременно автомодельное решение, представленное Блазиусом [3], метод Кармана–Польгаузена, который основан на интеграле импульса и представлен в статьях Кармана [4] и Польгаузена [5], в настоящее время считается одним из основных в теории ПС. Это связано с весьма высокой эффективностью расчета множества важнейших свойств ПС в потоках с низким и высоким числами Рейнольдса. Благодаря своей простоте данный метод входит в основные разделы монографий, посвященных теории ПС [6; 7]. Цель настоящей работы состоит в представлении новых вычислительных схем для динамического пограничного слоя на основе интегрального метода Кармана–Польгаузена.

**1. Течение жидкости на плоской пластине. Уравнение Блазиуса.** Установившееся плоское течение жидкости с заданным давлением  $p(x)$  мимо тонкой пластины описывается уравнениями Навье–Стокса в приближении пограничного слоя [6]

$$\begin{aligned} \frac{\partial u}{\partial x} + \frac{\partial v}{\partial y} &= 0, \\ u \frac{\partial u}{\partial x} + v \frac{\partial u}{\partial y} &= \nu \frac{\partial^2 u}{\partial y^2} - \frac{1}{\rho} \frac{\partial p}{\partial x}, \end{aligned} \tag{1.1}$$

где  $u$  и  $v$  – компоненты скорости жидкости вдоль координат  $x$  и  $y$  соответственно;  $\nu$  – кинематическая вязкость жидкости;  $\rho$  – плотность жидкости. Граничными условиями будут

$$\begin{aligned} u(0, x) &= 0, \quad v(0, x) = 0, \\ u(x, y) &= U(x), \quad y \rightarrow \infty, \end{aligned} \tag{1.2}$$

где  $U(x)$  – скорость основного потока. Граничные условия (1.2) при  $y = 0$  основаны на том предположении, что на пластине не допускается проскальзывание и массоперенос, тогда как оставшееся граничное условие означает, что скорость  $u$  асимптотически стремится к  $U = U(x)$ .

Для решения задачи вводится в рассмотрение потенциал  $\Psi(x, y)$  (функция тока)

$$u = \frac{\partial \Psi}{\partial y}, \quad v = -\frac{\partial \Psi}{\partial x}.$$

Математическая мотивация введения такой новой переменной заключается в том, что уравнение неразрывности выполняется тождественно и остается лишь одно преобразованное уравнение. При  $U = \text{const}$  задача упрощается. С помощью преобразования Блазиуса [3]

$$\eta = y \sqrt{\frac{U}{\nu x}}, \quad f(\eta) = \frac{[\Psi(y, x)]}{\sqrt{\nu y U}} \rightarrow \Psi(x, y) = f(\eta) \sqrt{\nu y U} \tag{1.3}$$

математическая модель с частными производными (1.1) сводится к модели для полубесконечной области, описываемой дифференциальным уравнением (уравнение Блазиуса)

$$\begin{aligned} f'''(\eta) + \frac{1}{2} f(\eta) f''(\eta) &= 0, \quad \eta \geq 0, \\ f(0), \quad f'(0) &= 0, \quad \lim_{\eta \rightarrow \infty} f'(\eta) = 1. \end{aligned} \tag{1.4}$$

Здесь  $\eta$  и  $f(\eta)$  – соответственно безразмерная координата и безразмерная функция тока. Задача (1.4) решена Блазиусом посредством ее описания степенным рядом в асимптотическом приближении при некотором конечном значении параметра  $\eta$ :

$$f(\eta) = \sum_{k=0}^{\infty} \left(-\frac{1}{2}\right)^k \frac{A_k \sigma^{k+1}}{(3k+2)!} \eta^{3k+2}, \quad (1.5)$$

где

$$A_0 = A_1 = 1, \quad A_k = \sum_{r=0}^{k-1} \binom{3k-1}{3r} A_r A_{k-r-1} \quad (k \geq 2).$$

В (1.5) параметр  $\sigma$  является неизвестной второй производной  $\sigma = f''(0)$ . Компонента скорости  $u$  может быть определена из функции тока следующим образом:

$$u = \frac{\partial \Psi}{\partial y} = U \frac{df}{d\eta} \rightarrow \frac{u}{U} = f'. \quad (1.6)$$

Несмотря на присутствие в (1.5) знаменателя  $(3k+2)!$ , ряд (1.6) сходится лишь на конечном интервале  $[0, R]$ , где  $R \approx 5,69$  [8]. Данная задача является предметом активных исследований. Ховарт [9] численно решил задачу Блазиуса, определив  $\sigma \approx 0,33206$ . В [10] найдено значение  $\sigma \approx 0,332057336$ . В дальнейшем для параметра  $\sigma$  получено еще более точное значение [см., напр., 11; 12].

Наиболее важными параметрами являются, в частности, коэффициент сопротивления  $C_f$  и толщина вытеснения потока  $\delta^*$ , для которых имеют место соотношения [7]

$$\frac{1}{2} C_f \sqrt{\text{Re}_x} = f''(0),$$

$$\frac{\delta^*}{x} \sqrt{\text{Re}_x} = \int_0^{\infty} \frac{U-u}{U} dy = \int_0^{\infty} (1-f') d\eta \approx \int_0^{\alpha} (1-f') d\eta,$$

где  $\text{Re}_x = Ux/\nu$  – локальное число Рейнольдса;  $\alpha = \frac{\delta}{x} \sqrt{\text{Re}_x}$ ,  $\delta$  – толщина ПС, которую, в зависимости от степени приближений, можно определить как

$$\delta \approx \eta_1 \frac{x}{\sqrt{\text{Re}_x}}.$$

Касательное напряжение трения  $\tau_w$  определяется формулой

$$C_f = \frac{\tau_w}{\frac{1}{2} \rho U^2} \rightarrow \tau_w = \frac{1}{2} C_f \rho U^2 = f''(0) \frac{\rho U^2}{\sqrt{\text{Re}_x}}. \quad (1.7)$$

Для толщины вытеснения импульса имеем

$$\frac{\Theta}{x} \sqrt{\text{Re}_x} = \int_0^{\infty} \frac{U-u}{U} \frac{u}{U} dy = \frac{1}{2} \int_0^{\infty} (1-f') f' d\eta \approx \frac{1}{2} \int_0^{\eta_1} (1-f') f' d\eta = s \approx 0,332057336\dots \quad (1.8)$$

Толщина вытеснения потока  $\delta_1$  определяется следующим образом:

$$\frac{\delta_1}{x} \sqrt{\text{Re}_x} = \int_0^{\infty} (1-f') d\eta \approx 1,7208. \quad (1.9)$$

С учетом (1.8) и (1.9) находим формпараметр

$$H = \frac{\delta_1}{\Theta} = \frac{\int_0^{\infty} (1-f') d\eta}{\int_0^{\infty} (1-f') f' d\eta} \approx \frac{\int_0^{\eta_1} (1-f') d\eta}{\int_0^{\eta_1} (1-f') f' d\eta} \approx 2,59110\dots$$

**2. Некоторые определяющие соотношения и параметры ПС.** Как показано Карманом [4] и Польгаузенем [5], при получении решения задачи (1.1), (1.2) можно потребовать выполнения дифференциальных уравнений (1.1) в среднем по толщине ПС. С этой целью берется за основу уравнение импульсов с заменой дифференциальных уравнений (1.1) на интегральное соотношение, которое получается посредством интегрирования исходных уравнений в пределах толщины ПС. Таким интегральным соотношением является [4]

$$\frac{\partial}{\partial x_0} \int_0^{\delta} (U-u)u \, dy + \frac{\partial U}{\partial x_0} \int_0^{\delta} (U-u) \, dy = v \left( \frac{\partial u}{\partial y} \right)_{y=0}. \quad (2.1)$$

Введем в рассмотрение безразмерные параметры

$$\zeta = \frac{y}{\delta}, \quad F = F(\zeta) = \frac{u}{U}(\zeta) = \tilde{u}. \quad (2.2)$$

При  $\partial U / \partial x = 0$  вместо (2.1), с учетом (2.2), имеем интегральное соотношение Кармана

$$\frac{\partial}{\partial x_0} \int_0^{\delta} (U-u)u \, dy = v \left( \frac{\partial u}{\partial y} \right)_{y=0}, \quad (2.3)$$

которому можно придать вид

$$\delta'(x)\delta(x) \int_0^1 (1-F)F \, d\zeta = \frac{v}{U} F'(0). \quad (2.4)$$

Для толщины ПС имеем

$$\delta = \eta_1 \sqrt{\frac{v}{U} x} = x \eta_1 \sqrt{\frac{v}{U x}} \rightarrow \frac{\delta}{x} = \frac{\eta_1}{\sqrt{\text{Re}_x}}. \quad (2.5)$$

Подстановка (2.5) в (2.4) дает интегральное соотношение

$$\frac{\eta_1^2}{2} \int_0^1 (1-F)F \, d\zeta = \frac{\eta_1^2}{2} \alpha_2 = F'(0). \quad (2.6)$$

Введем в рассмотрение параметры  $\alpha_1$  и  $\alpha_2$ , а также формпараметр  $H$ , определяемые как

$$\alpha_1 = \int_0^1 (1-F)F \, d\zeta, \quad \alpha_2 = \int_0^1 (1-F)F \, d\zeta, \quad H = \frac{\delta^*}{\Theta} = \frac{\delta \alpha_1}{\delta \alpha_2} = \frac{\alpha_1}{\alpha_2}. \quad (2.7)$$

Из (2.6) и (2.7) находим

$$\eta_1 = \sqrt{2 \frac{F'(0)}{\alpha_2}}. \quad (2.8)$$

Следуя Польгаузену и другим авторам, зададим профиль скорости в виде

$$\frac{u}{U} = F(\zeta) = \sum_{k=0}^N a_k \zeta^k.$$

Анализ известных простых полиномиальных решений рассматриваемой задачи позволяет более критично подойти к проблеме задания граничных условий на стенке и внешней стороне пограничного слоя, которые впервые были введены Польгаузенем [5]:

$$F(1) = 1, \quad \left. \frac{dF}{d\zeta} \right|_{\zeta=1} = F'(1) = 0, \quad \left. \frac{d^2 F}{d\zeta^2} \right|_{\zeta=1} = F''(1) = 0, \quad \left. \frac{d^3 F}{d\zeta^3} \right|_{\zeta=1} = F'''(1) = 0. \quad (2.9)$$

Граничные условия (2.9) являются частным случаем последовательности

$$\left. \frac{d^n F}{d\zeta^n} \right|_{\zeta=1} = F^{(n)}(1) = 0, \quad n = 1, 2, 3, \dots$$

Из (1.1) и (1.2) при  $U = \text{const}$  ( $\omega = du(0, x) / dy$ ) имеем граничные условия

$$\begin{aligned} u(0, x) = 0, \quad \frac{\partial^2 u(0, x)}{\partial y^2} = 0, \quad \frac{\partial^3 u(0, x)}{\partial y^3} = 0, \quad \frac{\partial^4 u(0, x)}{\partial y^4} = \frac{1}{v} \omega \frac{\partial \omega}{\partial x}, \\ \frac{\partial^5 u(0, x)}{\partial y^5} = 0, \quad \frac{\partial^6 u(0, x)}{\partial y^6} = 0, \quad \frac{\partial^7 u(0, x)}{\partial y^7} = \frac{\omega}{v^2} \left( 4\omega \frac{\partial^2 \omega}{\partial x^2} - \left( \frac{\partial \omega}{\partial x} \right)^2 \right), \dots \end{aligned} \quad (2.10)$$

Выделим в (2.10) особые («нулевые») граничные условия

$$F(0) = 0, \quad F''(0) = 0, \quad F'''(0) = 0.$$

Для внешней стороны ПС ( $\zeta = 1$ ) запишем наиболее важные из них:

$$F(1) = 1, \quad F'(1) = 0, \quad F''(1) = 0, \quad F'''(1) = 0, \quad F^{(4)}(1) = 0.$$

Отталкиваясь от той либо иной конкретной функции  $F(\zeta)$ , будем далее определять по (2.7) и (2.8) параметры  $\alpha_1$ ,  $\alpha_2$ ,  $H$  и  $\eta_1$ . Из (1.3), (1.7) и (2.5) получаем преобразование  $\zeta \rightarrow \eta / \eta_1$ , которое позволяет записать искомое решение для профиля скорости в виде, аналогичном по форме решению классической задачи Блазиуса (1.4), т. е.

$$\tilde{u}(\zeta) = F(\zeta) \leftrightarrow f'(\zeta) \rightarrow \tilde{u}(\eta) = F(\eta) = F\left(\frac{\eta}{\eta_1}\right) \leftrightarrow f'\left(\frac{\eta}{\eta_1}\right).$$

Для оценки точности приближенных решений используем отклонение  $E_u$ , а также среднеквадратичное отклонение (норму ошибки)  $L_2$ , рассчитываемые как

$$E_u(\eta) = \tilde{u}(\eta) - f'(\eta), \quad L_2 = \sqrt{\frac{1}{\eta_1} \int_0^{\eta_1} [\tilde{u}(\eta) - f'(\eta)]^2 d\eta}.$$

Точность расчета оценим посредством относительных ошибок

$$\begin{aligned} \varepsilon_{\delta_1} &= \left| \frac{\delta_1}{1,7208} - 1 \right| 100\%, \quad \varepsilon_H = \left| \frac{H}{2,5911} - 1 \right| 100\%, \\ \varepsilon_{C_f} &= \left| \frac{C_f}{0,6641} - 1 \right| 100\%, \quad \varepsilon_{\tau_w} = \varepsilon_{f''(0)} = \left| \frac{f''(0)}{0,332057} - 1 \right| 100\%. \end{aligned} \quad (2.11)$$

**3. Анализ известных полиномиальных решений для ПС.** Рассмотрим известные полиномиальные решения для профиля скорости, полученные на основе интегрального соотношения Кармана. Отдельно рассмотрим решения при следующих ограничениях на стенке: 1 –  $F''(0) = 0$ , 2 –  $\{F''(0) = 0, F'''(0) = 0\}$ , 3 –  $\{F''(0) = 0, F'(0) \cong \eta_1 s\}$ .

*Ограничение  $dF^2(0) / d\zeta^2 = 0$ .* Для данного ограничения построены все основные классические решения для ПС [5]. В частности, функции  $F_1(\zeta)$ ,  $F_2(\zeta)$  и  $F_3(\zeta)$  вида

$$F_1(\zeta) = \frac{3}{2}\zeta - \frac{1}{2}\zeta^3, \quad (3.1)$$

$$F_2(\zeta) = 2\zeta - 2\zeta^3 + \zeta^4, \quad (3.2)$$

$$F_3(\zeta) = \frac{5}{2}\zeta - 5\zeta^3 + 5\zeta^4 - \frac{3}{2}\zeta^5 \quad (3.3)$$

при разных системах ограничений на внешней стороне ПС (табл. 1) были получены Польгаузенем [5]. Вспомогательные параметры  $\alpha_1$ ,  $\alpha_2$ ,  $F'(0)$  и  $\eta_1$  для функций (3.1)–(3.3) представлены в табл. 2.

Как показали графики функций (3.1)–(3.3) (рис. 1, а), наилучшему приближению отвечает профиль  $F_2(\eta)$  на основе трехчленного полинома четвертой степени, что соответствует «симметричным» ограничениям  $F''(0) = F''(1) = 0$  (рис. 1, б). Как видим, добавление граничного условия  $F''(1) = 0$  позволило существенно улучшить решение по сравнению с профилем  $F_1(\delta)$ . Обратим также внимание, что добавление ограничения  $F'''(1) = 0$  (профиль  $F_3(\eta)$ ) приводит к заметному ухудшению аппроксимации. По всей видимости, это связано с нарушением отмеченной выше согласованности старших нулевых производных в точках  $\zeta = 0$  и  $\zeta = 1$ . Рассчитанные по (2.11) параметры  $\delta$ ,  $\delta_1$ ,  $H$ ,  $\tau_w$  и  $C_f$  представлены в табл. 3. Наилучшее приближение к точным значениям  $\tau_w$ ,  $C_f$  и  $H$  достигается в профиле  $F_2(\eta)$ .

*Ограничения  $dF^2(0) / d\zeta^2 = 0$  и  $dF^3(0) / d\zeta^3 = 0$ .* В [13] Н. Кёрл ввел в рассмотрение граничное условие  $F'''(0) = 0$ , что дало возможность прийти к полиному

Т а б л и ц а 1. Граничные условия и отвечающие им профили скорости  
 Table 1. Boundary conditions and corresponding velocity profiles

$F_n$	$\zeta = 0$	$\zeta = 1$	$F(\zeta)$	Источник
$F_1$	$F = F'' = 0$	$F = 1, F' = 0$	$\frac{3}{2}\zeta - \frac{1}{2}\zeta^3$	[5]
$F_2$	$F = F'' = 0$	$F = 1, F' = F'' = 0$	$2\zeta - 2\zeta^3 + \zeta^4$	[5]
$F_3$	$F = F'' = 0$	$F = 1, F' = F'' = F''' = 0$	$\frac{5}{2}\zeta - 5\zeta^3 + 5\zeta^4 - \frac{3}{2}\zeta^5$	[5]
$F_4$	$F = F'' = F''' = 0$	$F = 1, F' = F'' = 0$	$\frac{5}{3}\zeta - \frac{5}{3}\zeta^4 + \zeta^5$	[13]
$F_5$	$F = F'' = 0, F' \approx \eta_1 s$	$F = 1, F' = 0$	$\frac{5}{3}\zeta - \frac{5}{3}\zeta^4 + \zeta^5$	[14]
$F_6$	$F = F'' = 0$	$F = 1, F' = 0$	$\frac{7}{4}\zeta - \frac{5}{4}\zeta^3 + \frac{1}{2}\zeta^4$	*
$F_7$	$F = F'' = 0, F' \approx \eta_1 s$	$F = 1, F' = F'' = 0$	$\frac{9}{5}\zeta - \zeta^3 + \frac{1}{5}\zeta^6$	*
$F_8$	$F = 0, F' \approx \eta_1 s$	$F = 1, F' = F'' = 0$	$1 - \left(1 + \frac{227}{200}\zeta\right)(1 - \zeta)^3$	*

Примечание. \* – новое решение.  
 Note. \* – new solution.

Т а б л и ц а 2. Вспомогательные параметры  
 Table 2. Subsidiary parameters

$F_n$	$\alpha_1$	$\alpha_2$	$H = \alpha_1 / \alpha_2$	$F'(0)$	$\eta_1$
$F_1$	3/8	39/280	35/13	3/2	4,6409
$F_2$	3/10	37/315	189/74	2	5,8355
$F_3$	1/4	10/99	99/40	5/2	7,0356
$F_4$	1/3	775/6237	2079/775	5/3	5,1794
$F_5$	13/20	379/2835	7371/1516	5/3	4,9934
$F_6$	27/80	1313/10080	3402/1313	7/4	5,1836
$F_7$	9/28	279/2275	325/124	9/5	5,4180
$F_8$	1227/4000	170273/1440000	441720/170273	373/200	5,6165

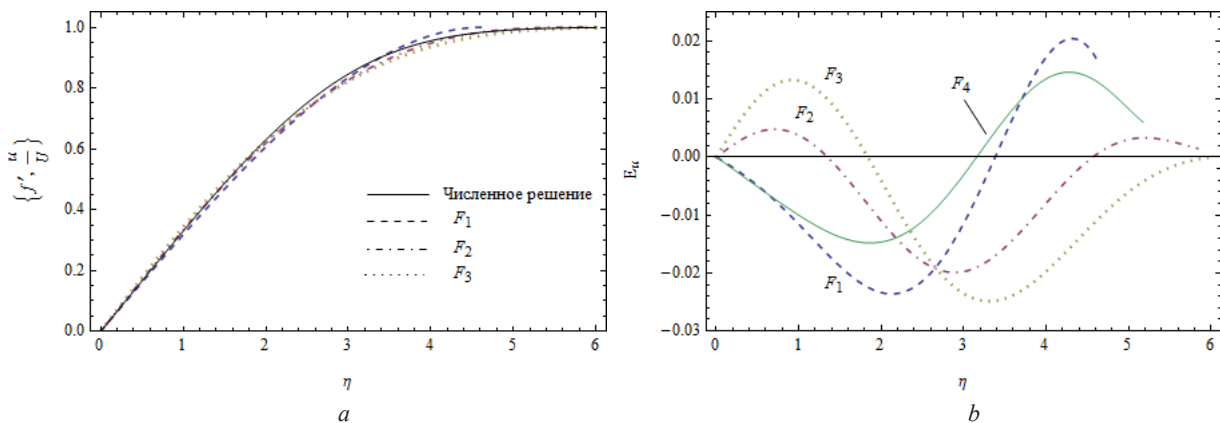


Рис. 1. Профили скорости в ПС на основе точного решения (сплошная линия), полиномов  $F_1(\eta)$  (штриховая линия),  $F_2(\eta)$  (штрихпунктирная линия),  $F_3(\eta)$  (пунктирная линия) (a) и графики отклонений  $E_u(\eta)$  для профилей скорости  $F_1(\eta) - F_4(\eta)$  (b)

Fig. 1. Velocity profiles in the BL on the basis of the exact solution (full line) and the polynomials  $F_1(\eta)$  (dashed line),  $F_2(\eta)$  (dash-dotted line), and  $F_3(\eta)$  (dotted line) (a) and graphs of the deviation  $E_u(\eta)$  for the velocity profiles  $F_1(\eta) - F_4(\eta)$  (b)

Т а б л и ц а 3. Основные свойства пограничного слоя, описываемого полиномами  $F_1 - F_8$ Table 3. Basic properties of the boundary layer described by polynomials  $F_1 - F_8$ 

$F_n$	$\tilde{u}(\eta) = \frac{u}{U}(\eta)$	$\frac{\delta^*}{x} \sqrt{\text{Re}_x}$	$H$	$C_f \sqrt{\text{Re}_x}$	$f''(0)$	$L_2$
$F_1$	$\frac{3}{2}\zeta - \frac{1}{2}\zeta^3$	1,7403 1,13 %	2,692 3,90 %	0,6464 9,47 %	0,3232 9,47 %	0,0153
$F_2$	$2\zeta - 2\zeta^3 + \zeta^4$	1,7506 1,73 %	2,554 1,43 %	0,6854 3,21 %	0,3427 3,21 %	0,0108
$F_3$	$\frac{5}{2}\zeta - 5\zeta^3 + 5\zeta^4 - \frac{3}{2}\zeta^5$	1,7589 2,21 %	2,475 4,48 %	0,7107 7,02 %	0,3553 7,02 %	0,0152
$F_4$	$\frac{5}{3}\zeta - \frac{5}{3}\zeta^4 + \zeta^5$	1,7264 0,33 %	2,682 3,51 %	0,6435 3,10 %	0,3217 3,10 %	0,0106
$F_5$	$\frac{5}{3}\zeta - \zeta^3 + \frac{1}{3}\zeta^4$	4,9934	1,7477 1,56 %	2,618 1,04 %	0,6675 0,51 %	0,0121
$F_6$	$\frac{7}{4}\zeta - \frac{5}{4}\zeta^3 + \frac{1}{2}\zeta^4$	1,7495 1,66 %	2,591 0 %	0,6752 1,67 %	0,3376 1,67 %	0,0113
$F_7$	$\frac{9}{5}\zeta - \zeta^3 + \frac{1}{5}\zeta^6$	5,4180	1,7415 1,20 %	2,621 1,16 %	0,6644 0,045 %	0,0094
$F_8$	$1 - \left(1 + \frac{227}{200}\zeta\right)(1 - \zeta)^3$	5,6164	1,7228 0,12 %	2,594 0,12 %	0,6641 0,0008 %	0,0049
Блазиус		1,7208	2,591	0,6641	0,33206	–

$$F_4(\zeta) = \frac{5}{3}\zeta - \frac{5}{3}\zeta^4 + \zeta^5 \quad (3.4)$$

при  $\eta_1 = 5,1794$ . Если сравнить данное решение с решением Польгаузена  $F_2(\eta)$  (рис. 1, *a*), то, как это можно видеть из графиков для отклонения  $E_u$  (рис. 1, *b*), решение Кёрла (3.4) является несколько лучшим. Это подтверждают рассчитанные параметры ПС (табл. 3).

*Ограничения*  $F''(0) = 0$  и  $F' \cong \eta_1 s$ . Поскольку значение второй производной  $f''(0)$  известно и вычислено с высокой точностью, для аппроксимации профиля скорости многие авторы часто прибегают к заданию заранее известной первой производной скорости потока на стенке  $\tilde{u}'(0)$ . Здесь речь идет об условии

$$\frac{d\tilde{u}(0)}{d\eta} = f''(0) = 0,332057... \Rightarrow \frac{dF(0)}{d\zeta} = \eta_1 s = \bar{s}, \quad s = 0,332057...$$

Данное условие, в частности, использовано авторами работы [14], где получена функция  $F_5(\zeta) = \frac{5}{3}\zeta - \zeta^3 + \frac{1}{3}\zeta^4$ . Авторы [14] отказались от условия  $F''(1)$ , посчитав его «нереалистичным». Применив граничные условия  $F(0) = F''(0) = 0$ ,  $F'(0) = s$  и  $F(1) = 1$  и  $F'(1) = 0$ , имеем

$$F(\zeta) = a_1 \zeta + (4 - 3a_1)\zeta^3 + (2a_1 - 3)\zeta^4.$$

Нахождение коэффициента  $a_1$  авторы работы [14] связали с поиском минимума функции

$$R = \left(\frac{\alpha_1 - \bar{\alpha}_1}{\bar{\alpha}_1}\right)^2 + \left(\frac{\alpha_2 - \bar{\alpha}_2}{\bar{\alpha}_2}\right)^2 + \left(\frac{a_1 - s\bar{\eta}_1}{s\bar{\eta}_1}\right)^2,$$

где  $\bar{\alpha}_1 \approx 0,344$ ,  $\bar{\alpha}_2 \approx 0,133$ ,  $s\bar{\eta}_1 \approx 1,660$  ( $s \approx 0,332$ ,  $\delta \approx 5$ ) [6], а также параметры  $\alpha_1$  и  $\alpha_2$  определяются формулами (2.7). Для нахождения  $a_1$  приравнивается нулю первая производная  $dR/da_1 = 0$ , что дает кубическое уравнение с корнем  $a_1 \approx 1,6794 \approx 5/3$ . Отсюда

$$F_5(\zeta) = \frac{5}{3}\zeta - \zeta^3 + \frac{1}{3}\zeta^4. \quad (3.5)$$

Используя преобразование  $\zeta \rightarrow \eta / \eta_1$  ( $\eta_1 = 4,9934$ ), имеем следующее решение:

$$F_5(\eta): \quad \tilde{u} = 0,33377\eta - 0,008032\eta^3 + 0,0005362\eta^4. \quad (3.6)$$

График профиля скорости для (3.6) характеризуется лучшим приближением к точному решению по сравнению с функциями  $F_2(\eta)$  и  $F_4(\eta)$  (рис. 2).

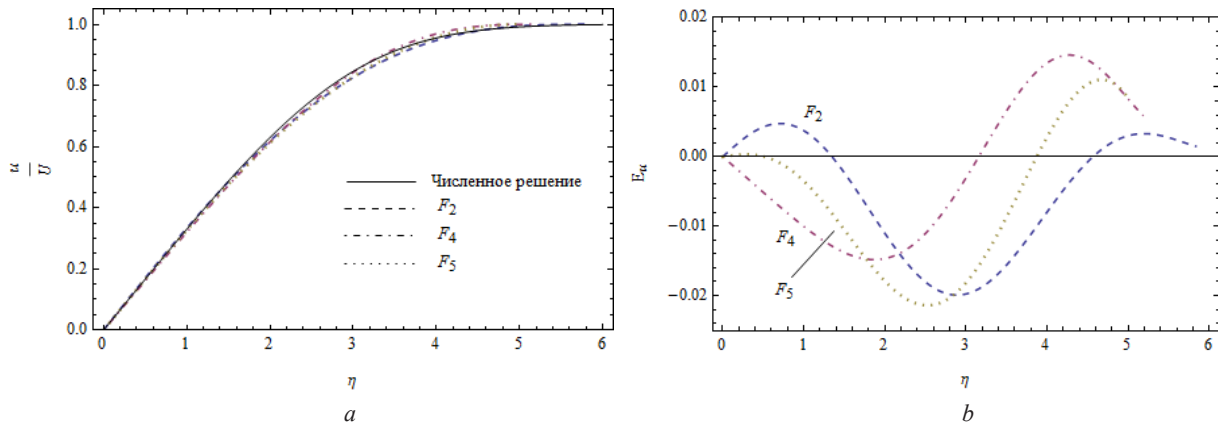


Рис. 2. Профили скорости в ПС на основе точного решения (сплошная линия), полиномов  $F_2(\eta)$  (штриховая линия),  $F_4(\eta)$  (штрихпунктирная линия),  $F_5(\eta)$  (пунктирная линия) (a) и графики отклонений  $E_u(\eta)$  для профилей скорости  $F_2(\eta)$ ,  $F_4(\eta)$  и  $F_5(\eta)$  (b)

Fig. 2. Velocity profiles in the BL on the basis of the exact solution (full line) and the polynomials  $F_2(\eta)$  (dashed line),  $F_4(\eta)$  (dash-dotted line), and  $F_5(\eta)$  (dotted line) (a) and graphs of the deviation  $E_u(\eta)$  for the velocity profiles  $F_2(\eta)$ ,  $F_4(\eta)$  and  $F_5(\eta)$  (b)

Отметим, что несмотря на несколько более высокое среднеквадратичное отклонение  $L_2 = 0,0122$  по сравнению с профилем Польгаузена  $F_2(\eta)$  ( $L_2 = 0,0108$ ), новый профиль (3.5) имеет существенно более точные параметры  $\tau_w = 0,3338$  (0,51 %),  $C_f = 0,6675$  (0,51 %) и  $H = 2,619$  (1,04 %) (табл. 3).

**4. Новое решение для ПС на основе полиномов Польгаузена.** Анализ решений Польгаузена на основе полиномов  $F_1(\zeta)$  и  $F_2(\zeta)$  показывает, что в окрестности точки  $\zeta = 0$  имеет место практически «зеркальное» отклонение кривых  $F_1(\eta)$  и  $F_2(\eta)$  относительно линии, которая отвечает точному профилю скорости (рис. 1, b). Это позволяет подойти к рассматриваемой проблеме с позиции нахождения полусуммы  $F_1(\zeta)$  и  $F_2(\zeta)$  т. е.

$$F_6(\zeta) = \frac{F_1(\zeta) + F_2(\zeta)}{2} \rightarrow \left\{ \begin{matrix} F_6(0) = 0 \\ F_6''(0) = 0 \end{matrix} \right\} \Leftrightarrow \left\{ \begin{matrix} F_6(1) = 1 \\ F_6'(1) = 0 \end{matrix} \right\} \leftarrow F_1(\zeta). \quad (4.1)$$

Вполне очевидно, что данный полином  $F_6(\zeta)$  автоматически удовлетворяет граничным условиям, которым удовлетворяет полином Польгаузена  $F_1(\zeta)$ . Подстановка  $F_1(\zeta)$  и  $F_2(\zeta)$  из (3.1) и (3.2) в (4.1) дает новую функцию

$$F_6(\zeta) = \frac{7}{4}\zeta - \frac{5}{4}\zeta^3 + \frac{1}{2}\zeta^4.$$

Рассчитав на основе (2.8) параметр  $\eta_1 = 5,1836$  (табл. 2), мы приходим к профилю

$$\tilde{u} = F_6(\eta) = 0,3376\eta - 0,00897\eta^3 + 0,00069\eta^4. \quad (4.2)$$

График отклонения  $E_u(\eta)$  для (4.2) представлен на рис. 2, b. Как показывают данные расчета (табл. 3), решение (4.2) имеет гораздо лучшие аппроксимационные свойства по сравнению с решениями Польгаузена  $F_1(\eta)$  и  $F_2(\eta)$ . Отмечаем примерно в два раза меньшую относительную ошибку для параметров  $\tau_w$  и  $C_f$  (1,67 %) по сравнению с функцией  $F_2(\eta)$  при почти точном определении формпараметра  $H = 2,591$  (~0 %).

**5. Новые решения для ПС на основе граничного условия  $dF(0) / d\zeta = \eta_1 s$ .** В данном разделе наше внимание будет обращено на получение новых высокоточных решений для ПС на основе введения в рассмотрение условия  $F'(0) \cong \eta_1 s$ , которое эквивалентно  $f''(0) \cong 0,332057$ .

$dF^2(0) / d\zeta^2 = 0$ . Среди простых трехчленных полиномиальных решений особо выделим полиномы  $F_2(\zeta) = 2\zeta - 2\zeta^3 + \zeta^4$ ,  $F_4(\zeta) = \frac{5}{3}\zeta - \frac{5}{3}\zeta^3 + \zeta^5$  и  $F_5(\zeta) = \frac{5}{3}\zeta - \zeta^3 + \frac{1}{3}\zeta^4$ . Сюда же мы отнесем полученный выше полином  $F_6(\zeta) = \frac{7}{4}\zeta - \frac{5}{4}\zeta^3 + \frac{1}{2}\zeta^4$ . Поскольку авторы работы [14] отталкивались от известных точных значений основных параметров ПС, то можно поставить вопрос: возможно ли более точная аппроксимация ПС посредством трехчленного полинома, исходя только из условия  $f''(0) \approx 0,332057$ ? Для ответа на него запишем искомое решение в виде

$$F(\eta) = a\zeta + b\zeta^3 + c\zeta^p. \quad (5.1)$$

Применив для (5.1) граничные условия  $F(1) = 1$ ,  $F'(1) = 0$  и  $F''(1) = 0$ , находим коэффициенты  $a$ ,  $b$  и  $c$ , откуда получаем

$$F(\zeta) = \frac{3p}{2(p-1)}\zeta - \frac{p}{3(p-2)^3}\zeta^3 + \frac{3}{(p-1)(p-3)}\zeta^p. \quad (5.2)$$

Подстановка (5.2) в (2.8) дает параметр

$$\eta_1 = 2\sqrt{\frac{70(8+30p+35p^2+15p^3+2p^4)}{(p-1)(280+318p+169p^2+26p^3)}}.$$

Используя соотношение  $F'(0) \cong \eta_1 s$ , имеем производную относительной скорости

$$\tilde{u}'(0) = s\eta_1 = 2s\sqrt{\frac{70(8+30p+35p^2+15p^3+2p^4)}{(p-1)(280+318p+169p^2+26p^3)}}. \quad (5.3)$$

С другой стороны, из (5.2) находим

$$\tilde{u}'(0) = \frac{3p}{2(p-1)}. \quad (5.4)$$

Приравняв правые части (5.3) и (5.4), мы приходим к уравнению

$$\frac{3p}{4}\sqrt{\frac{280+318p+169p^2+26p^3}{70(p-1)(8+30p+35p^2+15p^3+2p^4)}} = s = f''(0). \quad (5.5)$$

График левой части уравнения (5.5) представлен на рис. 3, а. Пересечение кривой  $f''(0, p)$  с горизонтальной линией  $f''(0) = 0,332057$  имеет место при значении  $p = 6,0594$  ( $p \approx 6$ ).

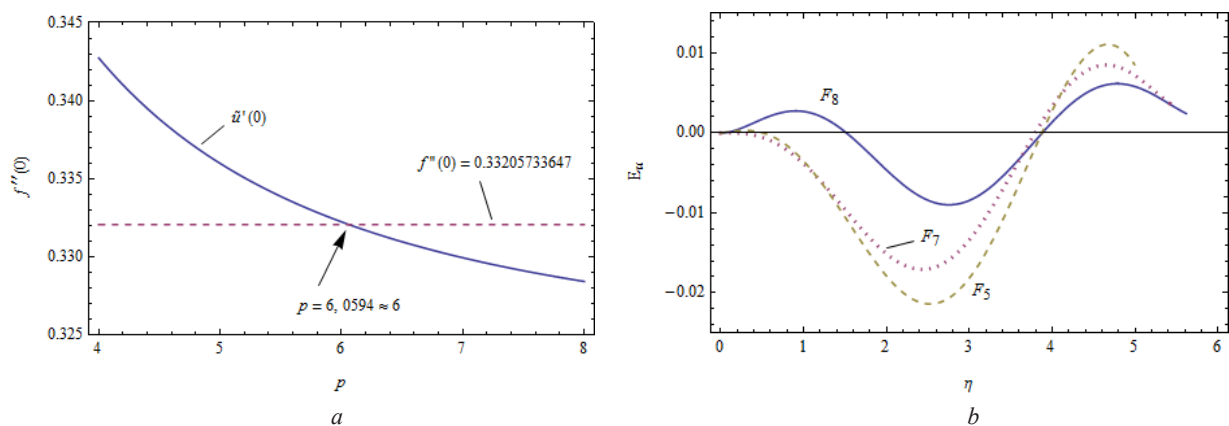


Рис. 3. График зависимости  $f''(0)$  согласно формуле (5.5) (а) и графики отклонений  $E_u(\eta)$  для профилей скорости  $F_5(\eta)$ ,  $F_7(\eta)$  и  $F_8(\eta)$  (б)

Fig. 3. Graphs of the dependence  $f''(0)$  in accordance with formula (5.5) (a) and graphs of the deviation  $E_u(\eta)$  for the velocity profiles  $F_5(\eta)$ ,  $F_7(\eta)$  and  $F_8(\eta)$  (b)

Подстановка в (5.2)  $p \approx 6$  дает полином (табл. 1)

$$F_7(\zeta) = \frac{9}{5}\zeta - \zeta^3 + \frac{1}{5}\zeta^6. \quad (5.6)$$

Из (2.8) находим параметр  $\eta_1 \approx 5,4180$ . Применяв преобразование  $\zeta \rightarrow \eta / \eta_1$ , из (5.6) получаем решение

$$\tilde{u}(\eta) = F_7(\eta) = 0,33222\eta - 0,006287\eta^3 + 7,9 \cdot 10^{-6}\eta^6.$$

Простой трехчленный полином (5.6) дает наиболее точное решение из всех известных трехчленных полиномиальных решений (рис. 3, *b*). Рассчитанные на основе (2.11) параметры ПС представлены в табл. 3. Для напряжения трения  $\tau_w$  имеем ошибку всего 0,045 %, при этом отмечаем малые ошибки для  $H$  (1,16 %) и  $\delta_1$  (1,20 %).

$dF^2(0) / d\zeta^2 \neq 0$ . В [15] М. Саттон предложил решение для ПС в виде функции

$$\tilde{u} = (1 + a\zeta)(1 - \zeta)^3, \quad (5.7)$$

которая удовлетворяет граничным условиям  $F(0) = 0$ ,  $F(1) = 1$  и  $F'(1) = F''(1) = 0$ . М. Саттон заменил граничное условие  $F''(0)$  на известное интегральное соотношение энергии [2; 7]. В отличие от автора [15], мы применим лишь одно интегральное соотношение Кармана (2.3). При этом первоначально мы будем исходить из известных точных значений  $f''(0)$ ,  $\delta_1$  и  $H$ . Для определения коэффициента  $a$  подставим (5.7) в (2.7). Отсюда находим

$$H = \frac{\alpha_1}{\alpha_2} = \frac{63(5+a)}{135+18a-5a^2}. \quad (5.8)$$

Для параметра  $\eta_1$  из (2.8) имеем

$$\eta_1 = \sqrt{2 \frac{3-a}{14 \left( \frac{3}{2} + \frac{a}{5} - \frac{a^2}{18} \right)}} = 6 \sqrt{\frac{70(3-a)}{135+18a-5a^2}}. \quad (5.9)$$

Из (2.5) и (5.9) получаем

$$\delta_1 \frac{\sqrt{\text{Re}_x}}{x} = \eta_1 \alpha_1 = \frac{3}{2} \left( 1 - \frac{a}{5} \right) \sqrt{\frac{70(3-a)}{135+18a-5a^2}}. \quad (5.10)$$

Используя формулы (1.8) и (1.9), находим напряжение трения

$$\tau_w = \frac{F'(0)}{\delta} = \frac{F'(0)}{\eta_1} \frac{\sqrt{\text{Re}_x}}{x} = \frac{1}{6} \sqrt{\frac{(3-a)(135+18a-5a^2)}{70}} \frac{\sqrt{\text{Re}_x}}{x}. \quad (5.11)$$

Для расчета коэффициента  $a$  используем формулы (2.11) для абсолютных относительных ошибок в отношении параметров  $H$ ,  $\delta_1$  и  $\tau_w$ . Подстановка в них правых частей (5.8), (5.10) и (5.11) дает

$$\varepsilon_H = \left| \frac{H}{H^*} - 1 \right| 100 \% = \left| \frac{63(5+a)}{135+18a-5a^2} \frac{1}{2,5911} - 1 \right| 100 \%, \quad (5.12)$$

$$\varepsilon_{\tau_w} = \left| \frac{\tau_w}{\tau_w^*} - 1 \right| 100 \% = \left| \frac{1}{6} \sqrt{\frac{(3-a)(135+18a-5a^2)}{70}} \frac{1}{0,332057} - 1 \right| 100 \%, \quad (5.13)$$

$$\varepsilon_{\delta_1} = \left| \frac{\delta_1}{\delta_1^*} - 1 \right| 100 \% = \left| \frac{3}{2} \left( 1 - \frac{a}{5} \right) \sqrt{\frac{70(3-a)}{135+18a-5a^2}} \frac{1}{1,72079} - 1 \right| 100 \%. \quad (5.14)$$

Определим относительную ошибку  $\varepsilon_\Sigma$  в виде суммы

$$\varepsilon_{\Sigma} = \varepsilon_H + \varepsilon_{\delta_1} + \varepsilon_{\tau_w}. \quad (5.15)$$

Для каждой ошибки  $\varepsilon_H(a)$ ,  $\varepsilon_{\tau_w}(a)$  и  $\varepsilon_{\delta_1}(a)$ , задаваемой формулами (5.12)–(5.14), а также функции  $\varepsilon_{\Sigma}(a)$  построены графики (рис. 4, *a*) с определением минимума для  $\varepsilon_{\Sigma}$  согласно (5.15).

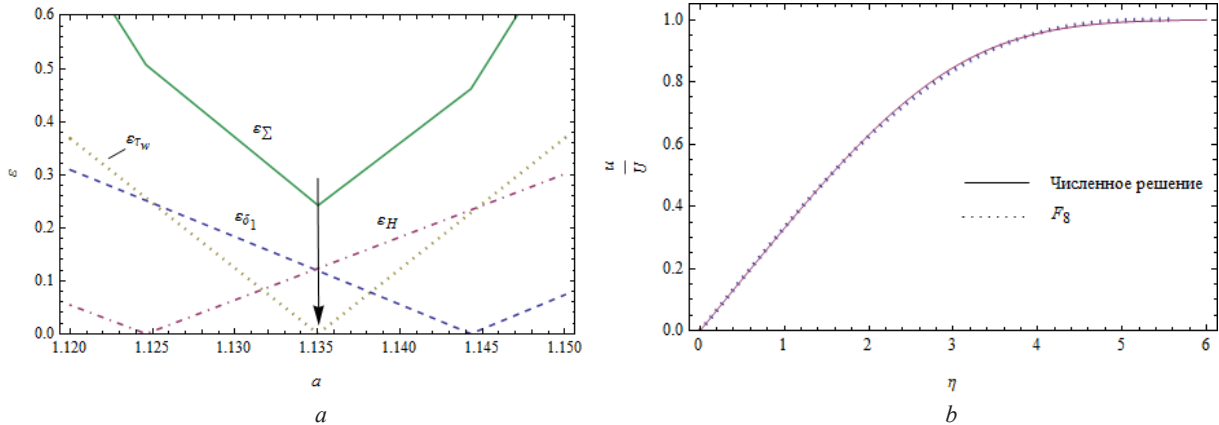


Рис. 4. Графики зависимостей для относительных ошибок (5.15) (*a*) и профили скорости в ПС на основе точного решения (сплошная линия) и полинома  $F_8(\eta)$  (пунктирная линия) (*b*)

Fig. 4. Graphs of the relative errors (5.15) (*a*) and the velocity profiles in the BL on the basis of the exact solution (full line) and the polynomial  $F_8(\eta)$  (dotted line) (*b*)

Обратим внимание на очень важную закономерность: функция  $\varepsilon_{\Sigma}(a)$  образует минимум  $\varepsilon_{\Sigma}^{\min} = 0,24207$  при одном и том же значении  $a = 1,13503$ , что и минимум  $\varepsilon_{\tau_w}^{\min}$  функции  $\varepsilon_{\tau_w}(a)$ . Отсюда, для получения оптимального профиля нам достаточно исходить лишь только из параметра  $\varepsilon_{\tau_w} \equiv \varepsilon_{f''(0)}$ , который отвечает второй производной  $f''(0)$ . Используя профиль (5.7) и вычисленное значение  $a = 1,135$ , получаем

$$F_8(\zeta) = (1 + 1,135\zeta)(1 - \zeta)^3.$$

По формуле (5.9) находим  $\eta_1 \approx 5,6165$ . Используя  $\zeta \rightarrow \eta / \eta_1$ , приходим к профилю скорости

$$\tilde{u} = F_8(\eta) = 1 - (1 + 0,202\eta)(1 - 0,178\eta)^3. \quad (5.16)$$

Кривая профиля скорости (5.16) почти полностью совпадает с кривой для точного решения (рис. 4, *b*). Графики отклонения  $E_u(\eta)$  для «оптимального» решения  $F_5(\eta)$  [14], полученного выше полинома  $F_5(\eta)$  и решения  $F_8(\eta)$  в виде (5.16), представлены на рис. 3, *b*. Решение в виде (5.16) существенно превосходит по свойствам решение на основе полинома  $F_5(\eta)$ . Из (5.16) определим производную  $\tilde{u}'(0) = f''(0) = 0,33206$  с ошибкой 0,0008 %. Такую же ошибку имеем для напряжения трения  $\varepsilon_{\tau_w} = 0,0008$  % (табл. 3). Также отмечаем очень малые относительные ошибки для параметров  $\delta_1$  (0,12 %) и  $H$  (0,12 %).

**Заключение.** Предложена схема нахождения двух достаточно точных решений на основе полиномов Польгаузена  $F_1$  и  $F_2$  в виде  $F_6(\zeta) = \frac{1}{2}(F_1(\zeta) + F_2(\zeta))$ . Решение  $F_6(\zeta)$  обладает существенно лучшими аппроксимационными свойствами по сравнению с профилями  $F_1(\zeta)$  и  $F_2(\zeta)$ . Для параметров  $\tau_w$  и  $C_f$  получена примерно в два раза меньшая ошибка по сравнению с  $F_2(\eta)$  при практически точном определении формпараметра  $H = 2,591$ . Получено высокоточное решение для профиля скорости в формальном представлении Саттона  $F(\zeta) = (1 + a\zeta)(1 - \zeta)^3$  в виде полинома  $F_8(\zeta) = (1 + 1,135\zeta)(1 - \zeta)^3$  ( $\eta_1 \approx 5,6165$ ). Кривая профиля скорости для  $F_8(\zeta)$  практически полностью совпадает с численным решением. Данное решение дает вторую производную  $f''(0) = 0,33206$ , что практически полностью совпадает с точным решением. Ошибки для параметров  $\delta_1$  и  $H$  составляют всего 0,12 %.

## СПИСОК ИСПОЛЬЗОВАННЫХ ИСТОЧНИКОВ

1. Prandtl, L. Über flüssigkeits bewegungen bei sehr kleiner reibung / L. Prandtl // III Internationalen Mathematiker Kongresses. – Leipzig, 1904. – P. 484–491.
2. Stewartson, K. The Theory of Laminar Boundary Layers in Incompressible Fluids / K. Stewartson. – Oxford University Press, 1964. – 191 p.
3. Blasius, H. Grenzschichten in flüssigkeiten mit kleiner reibung / H. Blasius // J. Appl. Math. Mech. – 1908. – Vol. 56. – P. 1–37.
4. Karman, T. V. Über laminare und turbulente feibung / T. V. Karman // J. Appl. Math. Mech. – 1921. – Vol. 1, N 4.– P. 233–252. <https://doi.org/10.1002/zamm.19210010401>
5. Pohlhausen, K. Zur näherungs weisen integration der differential gleichung der laminaren grenzschicht / K. Pohlhausen // J. Appl. Math. Mech. – 1921. – Vol. 1, N 4. – P. 252–290. <https://doi.org/10.1002/zamm.19210010402>
6. White, F. M. Viscous Fluid Flow / F. M. White. – New York, 2006. – 652 p.
7. Schlichting, H. Boundary-Layer Theory / H. Schlichting, K. Gersten. – Berlin, 2017. <https://doi.org/10.1007/978-3-662-52919-5>
8. Shanks, D. The Blasius and Weyl constants in boundary-layer theory / D. Shanks // Phys. Rev. – 1953. – Vol. 90, N 2. – P. 377.
9. Howarth, L. On the solution of the laminar boundary layer equations / L. Howarth // Proc. London Math Soc A. – 1938. – Vol. 164, N 919. – P. 547–579. <https://doi.org/10.1098/rspa.1938.0037>
10. Asaithambi, A. Solution of the Falkner–Skan equation by recursive evaluation of Taylor coefficients / A. Asaithambi // J. Comput. Appl. Math. – 2005. – Vol. 176, N 1. – P. 203–214. <https://doi.org/10.1016/j.cam.2004.07.013>
11. Robin, W. Some new approximate analytical representations of the Blasius function global / W. Robin // Journal of Mathematics. – 2015. – Vol. 2, N 2. – P. 150–155.
12. Lal, S. A. An accurate taylors series solution with high radius of convergence for the Blasius function and parameters of asymptotic variation / S. A. Lal, P. M. Neeraj // J. Applied Fluid Mechanics. – 2014. – Vol. 7, N 4. – P. 557–564. <https://doi.org/10.36884/jafm.7.04.21339>
13. Curle, N. The laminar boundary layer equation / N. Curle. – Clarendon Press, 1962. – 162 p.
14. Majdalani, J. On the Karman momentum-integral approach and the Pohlhausen paradox / J. Majdalani, Li-J. Xuan // Physics of Fluids. – 2020. – Vol. 32, N 12. – Art. 123605. <https://doi.org/10.1063/5.0036786>
15. Sutton, M. A. An approximate solution of the boundary layer equations for a flat plate / M. A. Sutton // The London, Edinburgh and Dublin Philosophical Magazine and Journal of Sciences. – 1937. – Vol. 23, N 158. – P. 1146–1152. <https://doi.org/10.1080/14786443708561882>

## References

1. Prandtl L. Über flüssigkeits bewegungen bei sehr kleiner reibung. *III Internationalen Mathematiker Kongresses, Heidelberg, 8-13 August 1904*. Leipzig, 1904, pp. 484–491 (in German).
2. Stewartson K. *The Theory of Laminar Boundary Layers in Incompressible Fluids*. Oxford University Press, 1964. 191 p.
3. Blasius H. Grenzschichten in flüssigkeiten mit kleiner reibung. *Journal of Applied Mathematics and Mechanics*, 1908, vol. 56, pp. 1–37 (in German).
4. Karman T. V. Über laminare und turbulente Reibung. *Journal of Applied Mathematics and Mechanics*, 1921, vol. 1, no. 4, pp. 233–252 (in German). <https://doi.org/10.1002/zamm.19210010401>
5. Pohlhausen K. Zur näherungsweisen integration der differentialgleichung der laminaren grenzschicht. *Journal of Applied Mathematics and Mechanics*, 1921, vol. 1, no. 4, pp. 252–290 (in German). <https://doi.org/10.1002/zamm.19210010402>
6. White F. M. *Viscous Fluid Flow*. New York, 2006. 652 p.
7. Schlichting H., Gersten K. *Boundary-Layer Theory*. Berlin, 2017. <https://doi.org/10.1007/978-3-662-52919-5>
8. Shanks D. The Blasius and Weyl constants in boundary-layer theory. *Physical Review*, 1953, vol. 90, no. 377.
9. Howarth L. On the solution of the laminar boundary layer equations. *Proceedings of the Royal Society of London. Series A – Mathematical and Physical Sciences*, 1938, vol. 164, no. 919, pp. 547–579. <https://doi.org/10.1098/rspa.1938.0037>
10. Asaithambi A. Solution of the Falkner–Skan equation by recursive evaluation of Taylor coefficients. *Journal of Computational and Applied Mathematics*, 2005, vol. 176, no. 1, pp. 203–214. <https://doi.org/10.1016/j.cam.2004.07.013>
11. Robin W. Some new approximate analytical representations of the Blasius function global. *Journal of Mathematics*, 2015, vol. 2, no. 2, pp. 150–155.
12. Lal S. A., Neeraj P. M. An accurate Taylors series solution with high radius of convergence for the Blasius function and parameters of asymptotic variation. *Journal of Applied Fluid Mechanics*, 2014, vol. 7, no. 4, pp. 557–564. <https://doi.org/10.36884/jafm.7.04.21339>
13. Curle N. *The laminar boundary layer equation*. Clarendon Press, 1962. 162 p.
14. Majdalani J., Xuuan Li-J. On the Karman momentum-integral approach and the Pohlhausen paradox. *Physics of Fluids*, 2020, vol. 32, no. 12, art. 123605. <https://doi.org/10.1063/5.0036786>
15. Sutton M. A. An approximate solution of the boundary layer equations for a flat plate. *The London, Edinburgh and Dublin Philosophical Magazine and Journal of Sciences*, 1937, vol. 23, no. 158, pp. 1146–1152. <https://doi.org/10.1080/14786443708561882>

## Информация об авторе

Кот Валерий Андреевич – канд. техн. наук, ст. науч. сотрудник. Институт тепло- и массообмена им. А. В. Лыкова НАН Беларуси (ул. П. Бровки, 15, 220072, Минск, Республика Беларусь). E-mail: valery.kot@hmti.ac.by.

## Information about the author

Kot Valery A. – Ph. D. (Engineering), Senior researcher. A. V. Luikov Heat and Mass Transfer Institute of the National Academy of Sciences of Belarus (15, P. Brovka Str., 220072, Minsk, Republic of Belarus). E-mail: valery.kot@hmti.ac.by.